



SPIF

La société de Pneumologie d'Île-de-France

GRUPE
HOSPITALIER
PARIS
SAINT JOSEPH

Cryobiopsie ganglionnaire et minisonde avec electronavigation

Amir Hanna

Pneumologue interventionnel

Hôpital Marie Lannelongue - Paris

28.09.2024



Conflits d'intérêt

OLYMPUS

erbe

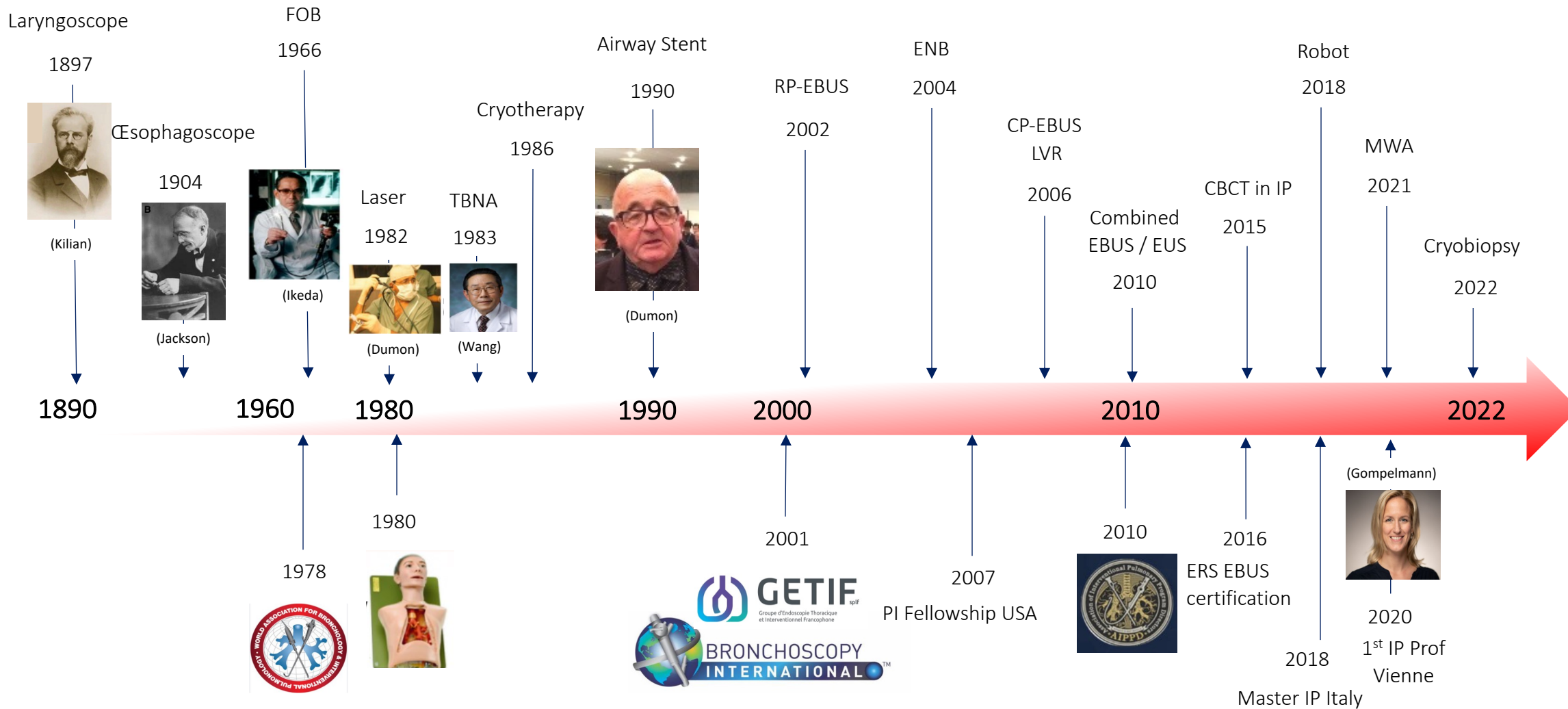
SENSOME
Sensitive Medical Devices



La PI de l'évolution à la révolution

Innovation

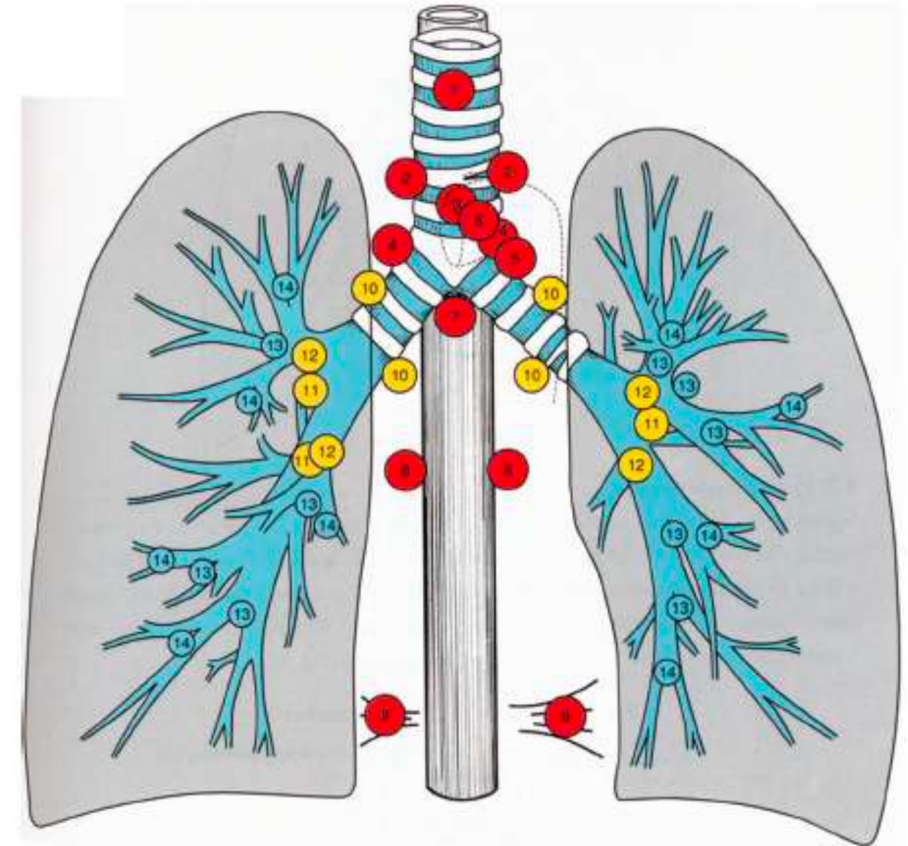
Education





PI = Boîte à outils

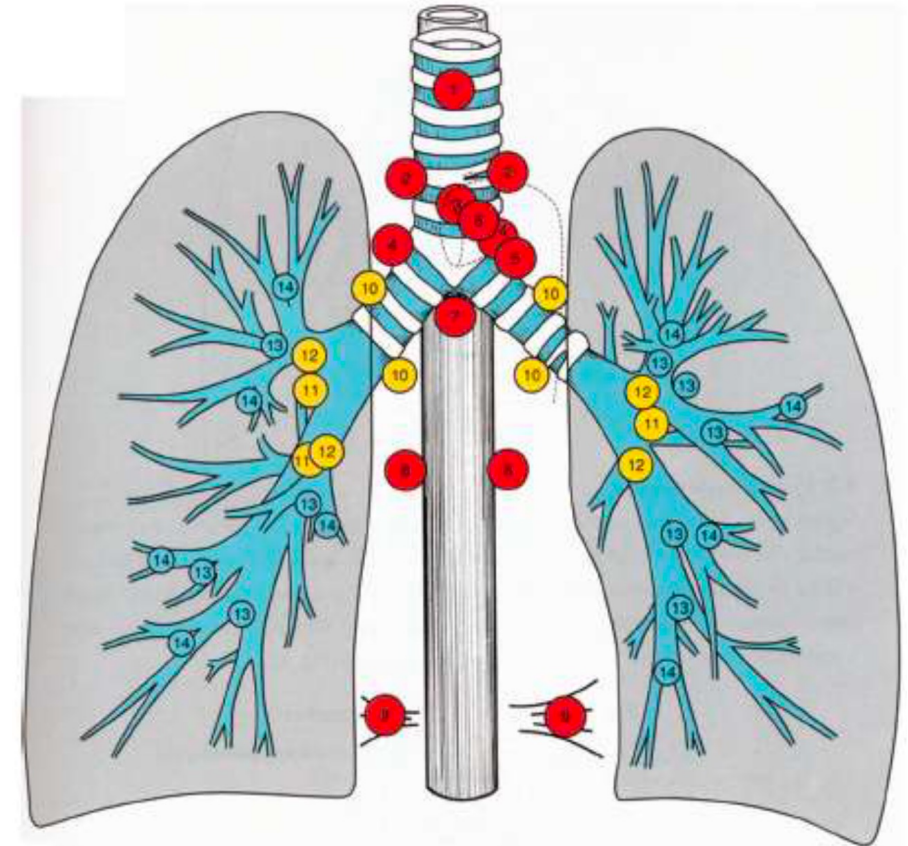
1. Lésion endobronchique
 - Fibroscopie bronchique
2. Adenopathies médiastinales et hilaires
 - EBUS - Axiale
3. Nodules pulmonaires périphériques
 - EBUS – Radiale
 - Navigation électromagnétique
 - CBCT
 - Robot
4. Désobstruction endobronchique
 - Bronchoscopie rigide





PI = Boîte à outils

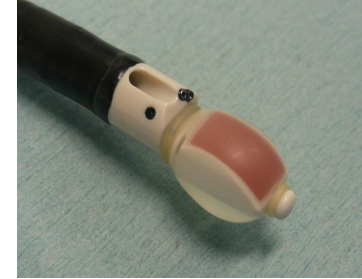
1. Lésion endobronchique
 - Fibroscopie bronchique
2. Adenopathies mediastinales et hilaires
 - EBUS - Axiale
3. Nodules pulmonaires peripheriques
 - EBUS – Radiale
 - Navigation électromagnétique
 - CBCT
 - Robot
4. Désobstruction endobronchique
 - Bronchoscopie rigide





Echoendoscopie bronchique axiale:

- Adénopathies médiastinales ou hilaires.
- 2 approches pour réaliser une biopsie médiastinale:
 - Chirurgicale: Mediastinoscopie, mediastinotomie et thoracoscopie
 - Endoscopique bronchique CP-EBUS
- EBUS axiale:
 - Gold standard (Guidelines ERS, ATS, ACCP)
 - Moins invasive, sensible, bien toléré



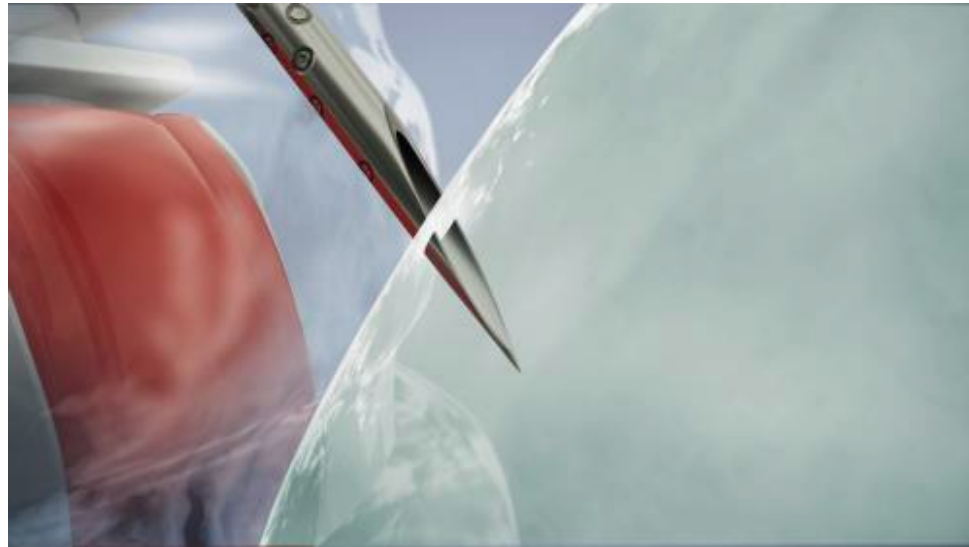


Outils de prélèvement:

- A. EBUS – TBNA (Needle Aspiration)
- B. EBUS – TBFB (Forceps Biopsy)
- C. EBUS – TBCB (Cryo Biopsy)



A. EBUS – TBNA (Needle aspiration) :





Efficacy and safety of convex probe EBUS-TBNA in sarcoidosis: a systematic review and meta-analysis

Ritesh Agarwal¹, Arjun Srinivasan, Ashutosh N Aggarwal, Dheeraj Gupta

Affiliations + expand

PMID: 22417738 DOI: [10.1016/j.rmed.2012.02.014](https://doi.org/10.1016/j.rmed.2012.02.014)

- Meta analyse 2004-2011
- 15 études, 553 patients
- Diagnostic yield from 54 to 93% with the pooled diagnostic accuracy being 79% (95% CI, 71-86%)



Tuberculose

Diagnostic Value of Convex Probe Endobronchial Ultrasound-Guided Transbronchial Needle Aspiration in Mediastinal Tuberculous Lymphadenitis: A Systematic Review and Meta-Analysis

Wei Li ¹, Ting Zhang ¹, Yuqing Chen ¹, Chao Liu ¹, Wenjia Peng ²

Affiliations + expand

PMID: 26177653 PMCID: [PMC4510950](#) DOI: [10.12659/MSM.894526](#)

- 14 études
- 684 patients
- Diagnostic yield of EBUS-TBNA for mediastinal TBLA was 80% (95% CI: 74-86%).



Diagnostic Accuracy of Endobronchial Ultrasound Transbronchial Needle Aspiration in Lymphoma. A Systematic Review and Meta-Analysis

Gonzalo Labarca¹, Melibea Sierra-Ruiz², Fayez Kheir³, Erik Folch⁴, Adnan Majid², Hiren J Mehta⁵, Michael A Jantz⁵, Sebastian Fernandez-Bussy⁶

- 14 études, 425 patients
- Sensibilité: 66.2% (confidence interval [CI], 55-75.8%; $I^2 = 76.2\%$), spécificité: 99.3% (CI, 98.2-99.7%; $I^2 = 40\%$).

A. Nouveau diagnostic:

13 études, 243 patients

Sensibilité of 67.1% (CI, 54.2-77.9%; $I^2 = 66.8\%$)

Spécificité of 99.6% (CI, 99.1-99.8%; $I^2 = 0\%$)

B. Récidive:

11 études, 166 patients

Sensibilité of 77.8% (CI, 68.1-85.2%; $I^2 = 20.2\%$)

Spécificité of 99.5% (CI, 98.9-99.8%; $I^2 = 0\%$)




B. EBUS – TBFB (Foceps biopsy):





Endobronchial Ultrasound-Guided Transbronchial Forceps Biopsy: A Retrospective Bicentric Study Using the Olympus 1.5 mm Mini-Forceps

Fabienne Rüber¹, Gilles Wiederkehr², Carolin Steinack¹ , Sylvia Höller^{3,4}, Peter Karl Bode^{4,5}, Fabian Kölbener⁶ and Daniel Peter Franzen^{1,7,*}

Citation: Rüber, F.; Wiederkehr, G.; Steinack, C.; Höller, S.; Bode, P.K.; Kölbener, F.; Franzen, D.P. Endobronchial Ultrasound-Guided Transbronchial Forceps Biopsy: A Retrospective Bicentric Study Using the Olympus 1.5 mm Mini-Forceps. *J. Clin. Med.* 2022, 11, 4700. <https://doi.org/10.3390/jcm11164700>

Academic Editors: Sukhwinder Singh Sohal and Filippo Lococo

Received: 4 July 2022

Accepted: 9 August 2022

Published: 11 August 2022

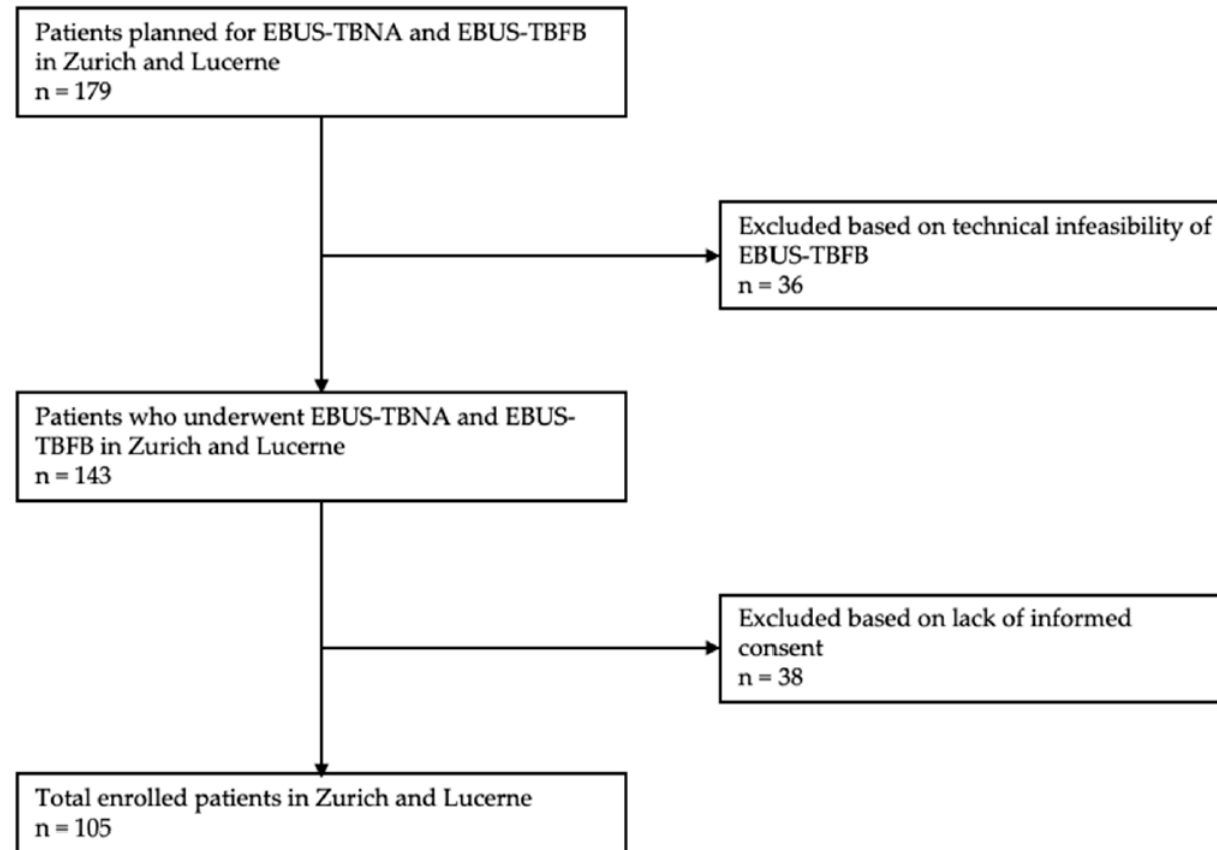




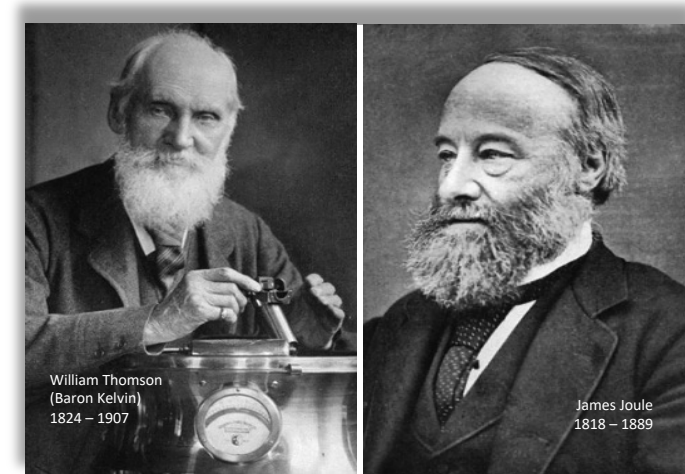
Table 4. Diagnostic yield of TBNA and TBNA plus TBFB overall and divided into the final diagnosis.

	Total	TBNA	TBNA plus TBFB	<i>p</i> -Value
Overall	105	65/105 (61.9)	90/105 (85.7)	<0.001
Final diagnosis				
Lung cancer	34	26/34 (76.5)	33/34 (97.1)	0.016
Lung cancer staging	11	7/11 (63.6)	7/11 (63.6)	>0.05
Other malignancies *	7	3/7 (42.9)	4/7 (57.1)	>0.05
Lymphoma	8	5/8 (62.5)	6/8 (75)	>0.05
Sarcoidosis	27	12/27 (44.4)	23/27 (85.2)	0.001
Other	18	12/18 (66.7)	17/18 (94.4)	>0.05



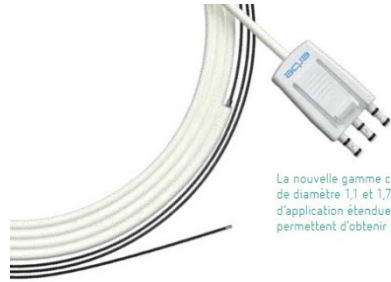
C. EBUS – TBCB (Cryobiopsie):

- **Joule–Thompson:**
 - Compression d'un gaz, a haut débit, qui se dilate rapidement et crée des températures bases en qq sec a l'extrémité distale de la sonde.
- **L'Equipment:**
 - Console (Pression, T°C -70 °C to -89 °C, durée d'application)
 - Cryogènes (CO2 ou protoxyde d'azote)
 - Cryo sonde (1.1 , 1.7 , 2.4 mm)
- **Cryotechniques:**
 - Cryo-biopsie
 - Cryothérapie
 - Cryo-recanalization





Cryobiopsie:



La nouvelle gamme comprend trois sondes à usage unique de diamètre 1,1 et 1,7 ainsi que 2,4 mm pour des possibilités d'application étendues. Plusieurs éléments clés brevetés permettent d'obtenir un design affiné, léger et ergonomique.¹²

Les sondes miniaturisées de 1,1 mm et 1,7 mm permettent une amélioration du bénéfice clinique et de la compatibilité, par ex. avec des catheters de navigation.⁷

La sonde de 2,4 mm permet diverses applications par le design optimisé de son extrémité et ses capacités de congélation maximales.⁷



1.1 mm

Cryosonde flexible, ø 1,1 mm, longueur 1,15 m
(avec tube d'extraction, ø 2,6 mm, longueur 817 mm)
N° 20402-401

Cryosonde flexible, ø 1,1 mm, longueur 1,15 m
(avec tube d'extraction, ø 2,6 mm, longueur 757 mm)
N° 20402-402



1.7 mm

Cryosonde flexible, ø 1,7 mm, longueur 1,15 m
N° 20402-410



2.4 mm

Cryosonde flexible, ø 2,4 mm, longueur 1,15 m
N° 20402-411





European Respiratory Society guidelines on transbronchial lung cryobiopsy in the diagnosis of interstitial lung diseases

PICO question 1: In patients with undiagnosed ILD considered eligible to undergo SLB, is TBLC a valid replacement test?

Recommendation

For patients with undiagnosed ILD considered eligible to undergo SLB, the task force suggests performing TBLC if obtaining histopathological data is indicated (conditional recommendation for the intervention, 'very low' certainty of evidence). Remark: this recommendation applies to centers experienced in performing TBLC.

PICO question 2: In patients with undiagnosed ILD not considered eligible to undergo SLB, does TBLC increase the diagnostic confidence of the multidisciplinary team discussion?

Recommendation

For patients with undiagnosed ILD not considered eligible to undergo SLB, the task force suggests TBLC if obtaining histopathological data is indicated (conditional recommendation, 'very low' certainty of evidence). Remark: this recommendation applies to centers experienced in performing TBLC; the advantages of potentially increasing diagnostic certainty by performing TBLC against the disadvantages of potential serious adverse events should be weighed in each individual patient.

Please cite this article as: Korevaar DA, Colella S, Fally M, *et al.* European Respiratory Society guidelines on transbronchial lung cryobiopsy in the diagnosis of interstitial lung diseases. *Eur Respir J* 2022; in press (<https://doi.org/10.1183/13993003.00425-2022>).



Transbronchial mediastinal cryobiopsy in the diagnosis of mediastinal lesions: a randomised trial

Jing Zhang¹, Jie-Ru Guo¹, Zan-Sheng Huang¹, Wan-Lei Fu², Xian-Li Wu¹, Na Wu³, Wolfgang M. Kuebler⁴, Felix J.F. Herth ^{5,6,7} and Ye Fan^{1,7}

¹Dept of Respiratory Disease, Xinqiao Hospital, Third Military Medical University, Chongqing, China. ²Dept of Pathology, Xinqiao Hospital, Third Military Medical University, Chongqing, China. ³Dept of Epidemiology, College of Preventive Medicine, Third Military Medical University, Chongqing, China. ⁴Institute of Physiology, Charité Universitätsmedizin, Berlin, Germany. ⁵Dept of Pneumology and Critical Care Medicine, Thoraxklinik, University of Heidelberg, Heidelberg, Germany. ⁶Translational Lung Research Center Heidelberg, University of Heidelberg, Heidelberg, Germany. ⁷Felix J.F. Herth and Ye Fan contributed equally to this article as lead authors and supervised the work.

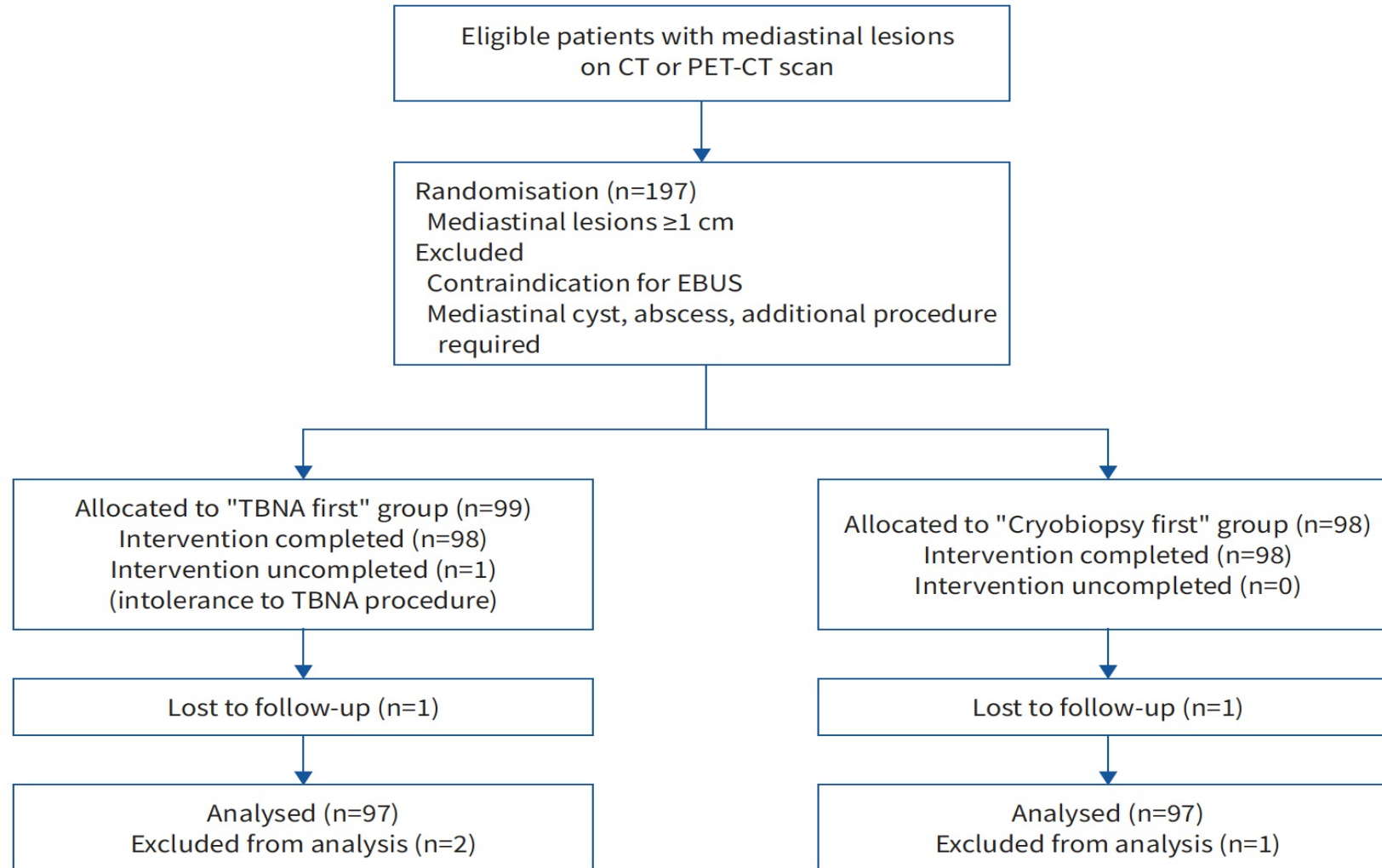


FIGURE 1 Patient flow. CT: computed tomography; PET: positron emission tomography; EBUS: endobronchial ultrasound; TBNA: transbronchial needle aspiration.

TABLE 2 Diagnostic yields of TBNA and transbronchial mediastinal cryobiopsy

	Total	TBNA	Cryobiopsy	p-value
Subjects n	194	194	194	
Diagnostic yield n (%)				0.001
No	13 (6.7%)	39 (20.1%)	16 (8.2%)	
Yes	181 (93.3%)	<u>155 (79.9%)</u>	<u>178 (91.8%)</u>	
Common tumour n				
Lung, adenocarcinoma	75	68	72	
Lung, squamous cell	24	24	23	
Lung, large cell	3	3	3	
Lung, NSCLC (NOS)	7	6	5	
Lung, small cell	26	26	26	
Total n (%)	135 (69.6%)	<u>127 (65.5%)</u>	<u>129 (66.5%)</u>	0.58
Uncommon tumour n				
Lung, carcinoid	1	0	1	
Lung, sarcomatoid	1	1	1	
<u>Lymphoma</u>	8	1	<u>7</u>	
Seminoma	1	0	1	
Thymic carcinoma	1	1	1	
Total n (%)	12 (6.2%)	3 (1.5%)	11 (5.7%)	0.001
Benign disorder n				
<u>Sarcoidosis</u>	15	10	15	
<u>Tuberculosis</u>	16	8	16	
Pneumoconiosis	7	7	7	
Total n (%)	47 (24.2%)	25 (12.9%)	38 (19.6%)	0.004

TBNA: transbronchial needle aspiration; NSCLC: non-small cell lung cancer; NOS: not otherwise specified.

Diagnostic yield:

Overall: 79.9% Vs 91.8%

- Common tumors: 94% Vs 95.5%
- Uncommon tumors: 25% Vs 91.6%
 - Lymphoma: 12.5% Vs 87.5%
- Benign disorders: 53% Vs 81%



Complications

TABLE 4 Procedure-related adverse events

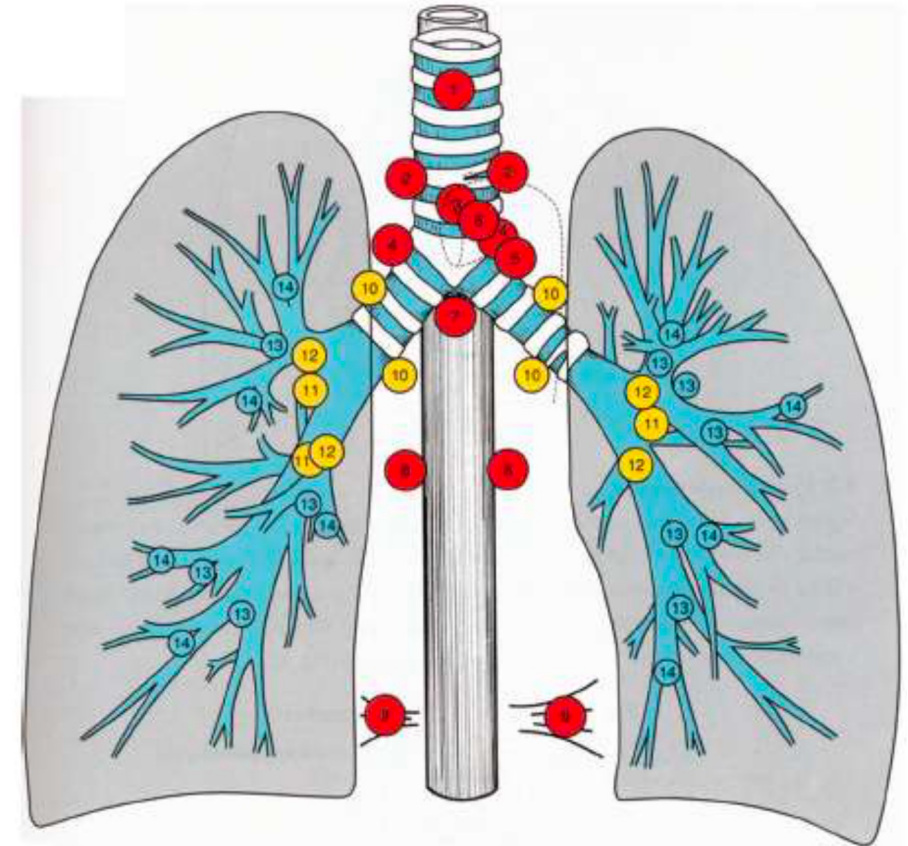
	“TBNA first” group	“Cryobiopsy first” group	p-value
Subjects n	98	98	
Bleeding n			
Grade 2	9	9	
Grade 3	0	2	
Grade 4	0	0	
Total n (%)	83 (84.7%)	86 (87.8%)	0.53
Pneumothorax n (%)	1 (1.0%)	1 (1.0%)	1
Pneumomediastinum n (%)	0 (0%)	1 (1.0%)	1
Death n (%)	0 (0%)	0 (0%)	-

TBNA: transbronchial needle aspiration.



PI = Boîte à outils

1. Lésion endobronchique
 - Fibroscopie bronchique
2. Adenopathies médiastinales et hilaires
 - EBUS - Axiale
3. Nodules pulmonaires périphériques
 - EBUS – Radiale
 - Navigation électromagnétique
 - CBCT
 - Robot
4. Désobstruction endobronchique
 - Bronchoscopie rigide





Nodules pulmonaires périphériques

- Augmentation de la découverte fortuite des nodules pulmonaires:
 - Dépistage du cancer du poumon
 - Amélioration de la qualité d'imagerie
- Défi pour les pneumologues interventionnels.
- 3 approches pour réaliser une biopsie pulmonaire:
 - Chirurgicale
 - Ponction trans-thoracique guidée sous scanner
 - Endoscopique bronchique RP-EBUS
 1. EBUS radiale - minisonde
 2. Electronavigation
 3. Cone Beam - CT
 4. Bronchoscopie robotique



1. Echoendoscopie bronchique radiale:

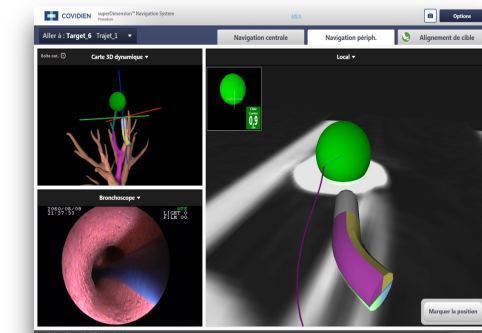
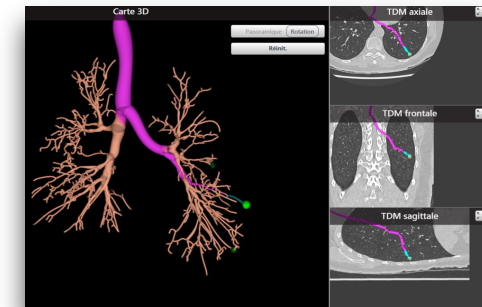
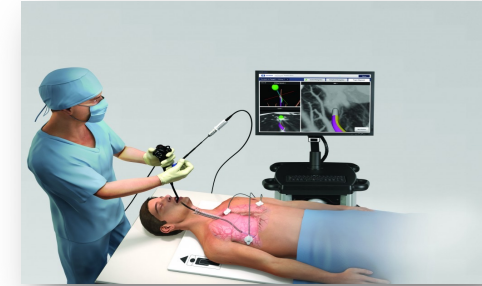
- Avantages:
 - Simple, accessible
 - Sous AL
 - Cout
- RP-EBUS - RD: 70,6 %[♦]
- Complications sont rares[♦]
 - Pneumothorax 1,08 %
 - Saignements 2,8 %





2. Electronavigation ENB:

- TDM de phase pour créer une image bronchoscopique virtuelle.
- Champ magnétique autour du patient pour détecter un dispositif suivi afin d'obtenir la position superposée sur la carte bronchoscopique virtuelle.
- Chevauchement de l'imagerie avec le champ électromagnétique via des points sélectionnés et fournir un itinéraire jusqu'à la lésion.
- Rendement diagnostique : L'étude NAVIGATE♦
 - 1 157 biopsies guidées par ENB
 - 94 % (ont réussi la navigation et obtenu des échantillons de tissu)
 - 73 % à 12 mois
 - Complications: PNO 4.3%, Saignement 2.5%





Electromagnetic navigation ENB:

Sensitivity and Safety of Electromagnetic Navigation Bronchoscopy for Lung Cancer Diagnosis Systematic Review and Meta-analysis

 CHEST

Erik E. Folch, MD; Gonzalo Labarca, MD; Daniel Ospina-Delgado, MD; Fayed Kheir, MD; Adnan Majid, MD; Sandeep J. Khandhar, MD; Hiren J. Mehta, MD; Michael A. Jantz, MD; and Sebastian Fernandez-Bussy, MD

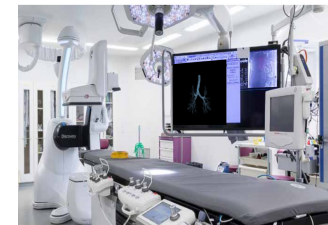
- 40 études, 3356 nodules
- Taille : 23.2 mm
- Durée médiane de procédure: 46.3 min
- Navigation réussie: 98%
- RD: 77%
- Complications: PNO 2.0%



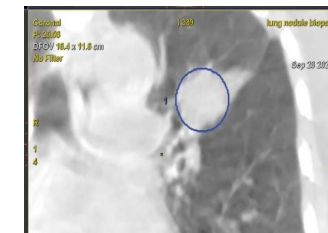
3. Cone Beam CT



Step 1:
GA



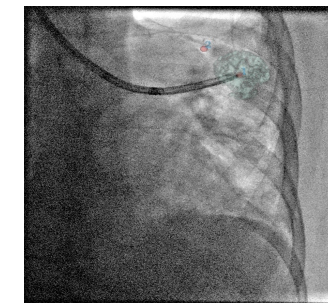
Step 2:
CBCT



Step 3:
Create a masque

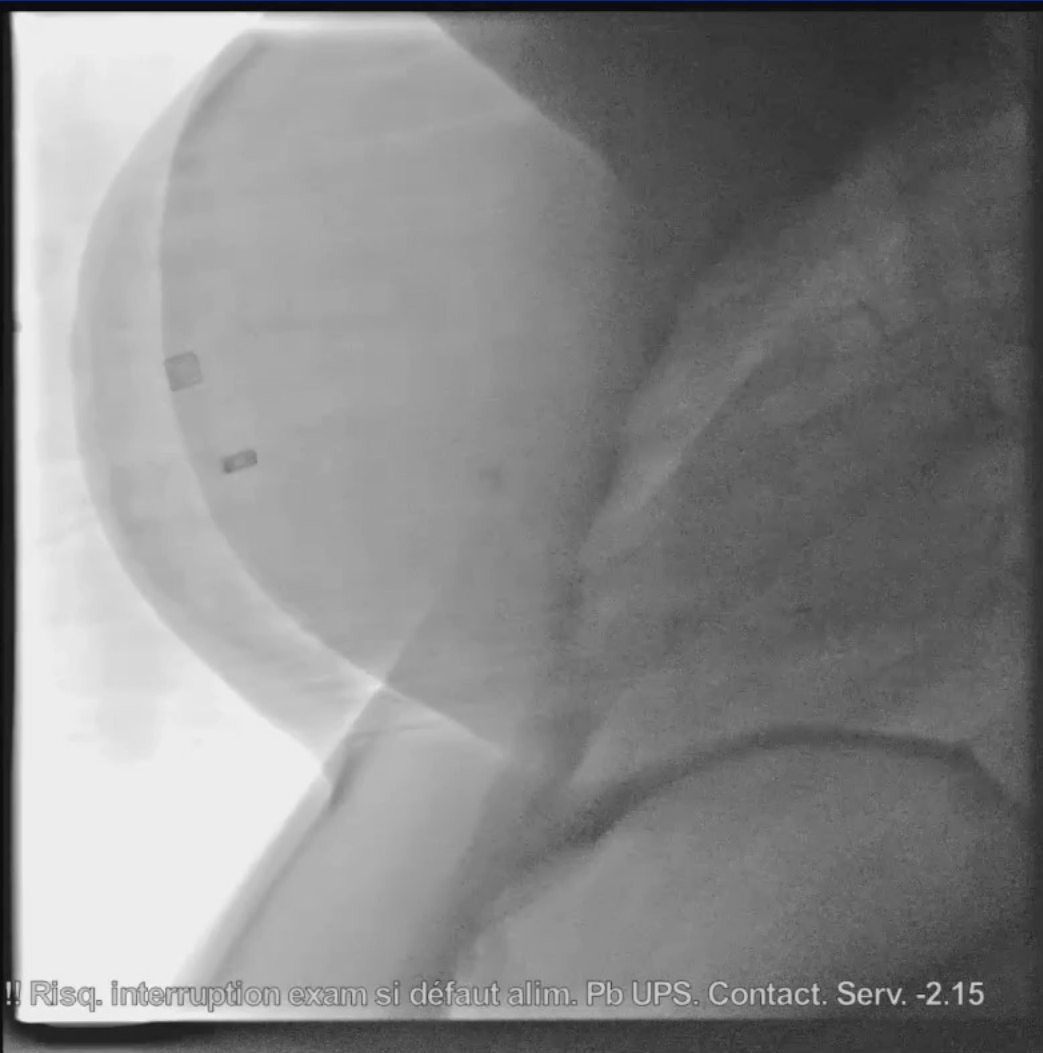


Step 4:
Fusion and
Navigation



111217182
10-Nov-2023
EBUS
1

1% de 3 Gy
mGy/min 1.6
--BPM
40 cm
130 cm
↓27 cm
0 deg
LAO 92 deg
CAU 0 deg



!! Risq. interruption exam si défaut alim. Pb UPS. Contact. Serv. -2.15

080187 Hop. Marie Lannelongue 10/11/2023 11:27:30
CBCT

20MHZ

G : 7
C : 5



No Signal

MEDIA DF: 0 CV: 1 1/12





4. Bronchoscopie robotique

Monarch™ platform



(Images courtesy of Auris Health, Inc., Redwood Ci)

Ion Robotic System

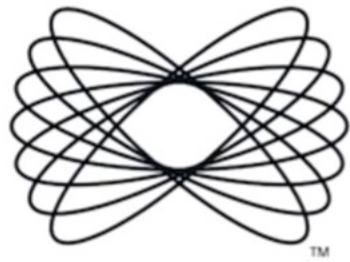


(Images courtesy of Intuitive Surgical®, Sunnyvale, CA, USA)

Galaxy System™



(Images courtesy of Noah Medical, San Carlos, CA, USA)



MONARCHTM



Bronchoscopie robotique

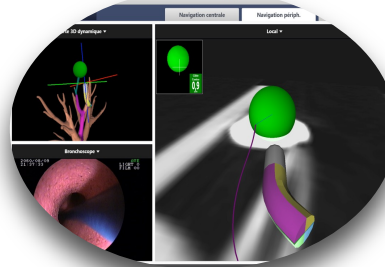
Diagnostic Performance and Safety Profile of Robotic-assisted Bronchoscopy: A Systematic Review and Meta-Analysis

Muhammad Sajawal Ali , Uzair Khan Ghori , Max Theodore Wayne , Eugene Shostak , and Jose De Cardenas

<https://doi-org.proxy.insermbiblio.inist.fr/10.1513/AnnalsATS.202301-075OC> PubMed: [37769170](https://pubmed.ncbi.nlm.nih.gov/37769170/)



- 20 études, 1779 lésions
- Rendement diagnostique 84.3%
- Meilleur rendement:
 - Lésion > 20 mm
 - Signe de la bronche
- Complications:
 - PNO 2.3%
 - PNO drainé 1.2%
 - Saignement important 0.5%



Machine cost	100k	200k	900k	1.2M
Cost/procedure	500 euros	1500 euros	2600 euros	1000 euros
Diagnostic Yield	70% ¹	77% ²	84% ³	Aiding tool

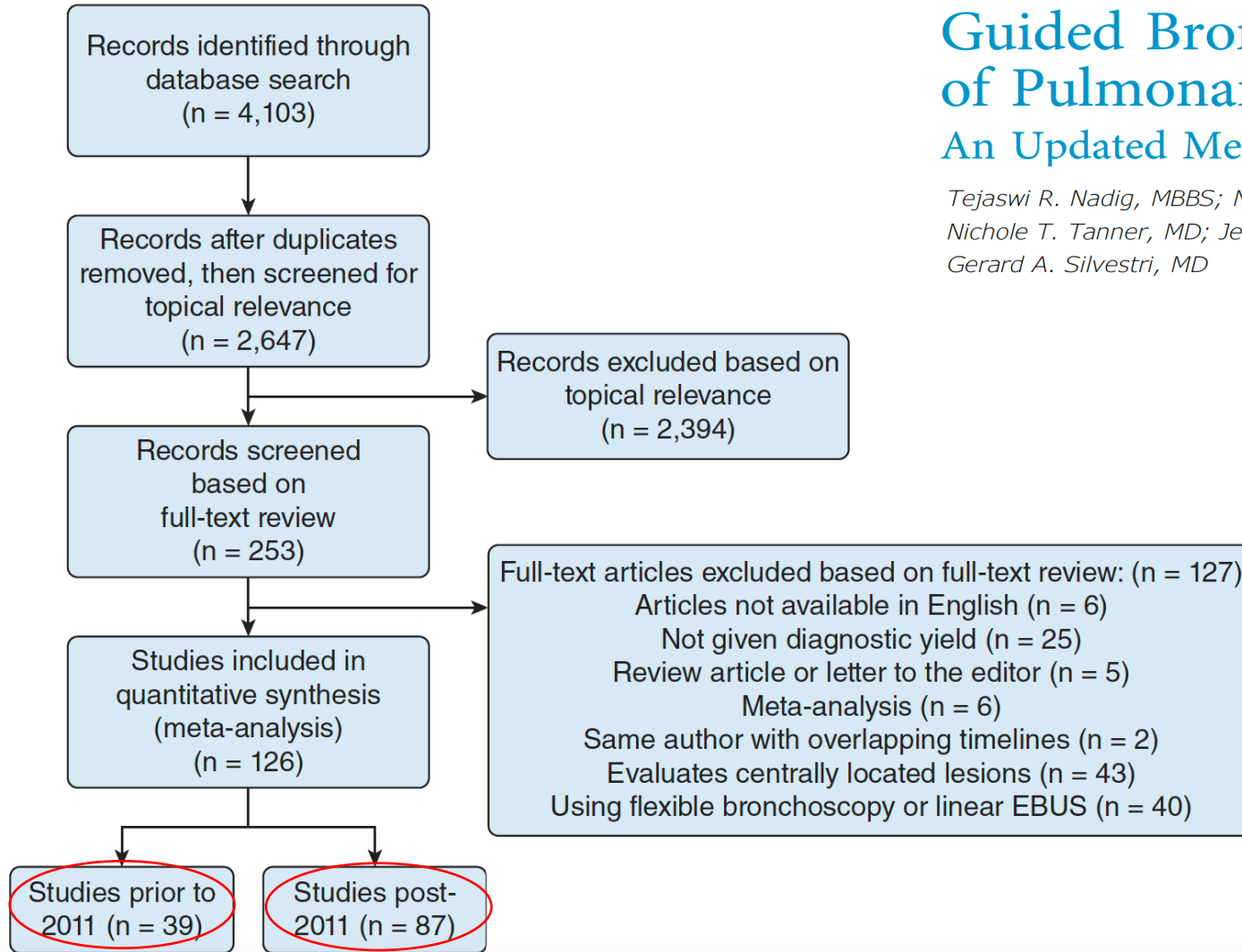
1. Ali, M.S.; Trick, W.; Mba, B.I.; Mohanane, D.; Sethi, J.; Musani, A.I. Radial endobronchial ultrasound for the diagnosis of peripheral pulmonary lesions: A systematic review and meta-analysis. *Respirology* 2017, 22, 443–453.

2. *J Thorac Oncol.* 2019 Mar;14(3):445-458. PMID: 30476574

3. Pubmed: 37669170



Est-ce qu'on a amélioré le RD?



Guided Bronchoscopy for the Evaluation of Pulmonary Lesions An Updated Meta-analysis

CHEST

Tejaswi R. Nadig, MBBS; Nina Thomas, MD; Paul J. Nietert, PhD; Jessica Lozier, MD; Nichole T. Tanner, MD; Jessica S. Wang Memoli, MD; Nicholas J. Pastis, MD; and Gerard A. Silvestri, MD

CHEST 2023; 163(6):1589-1598



Est-ce qu'on a amélioré le RD?

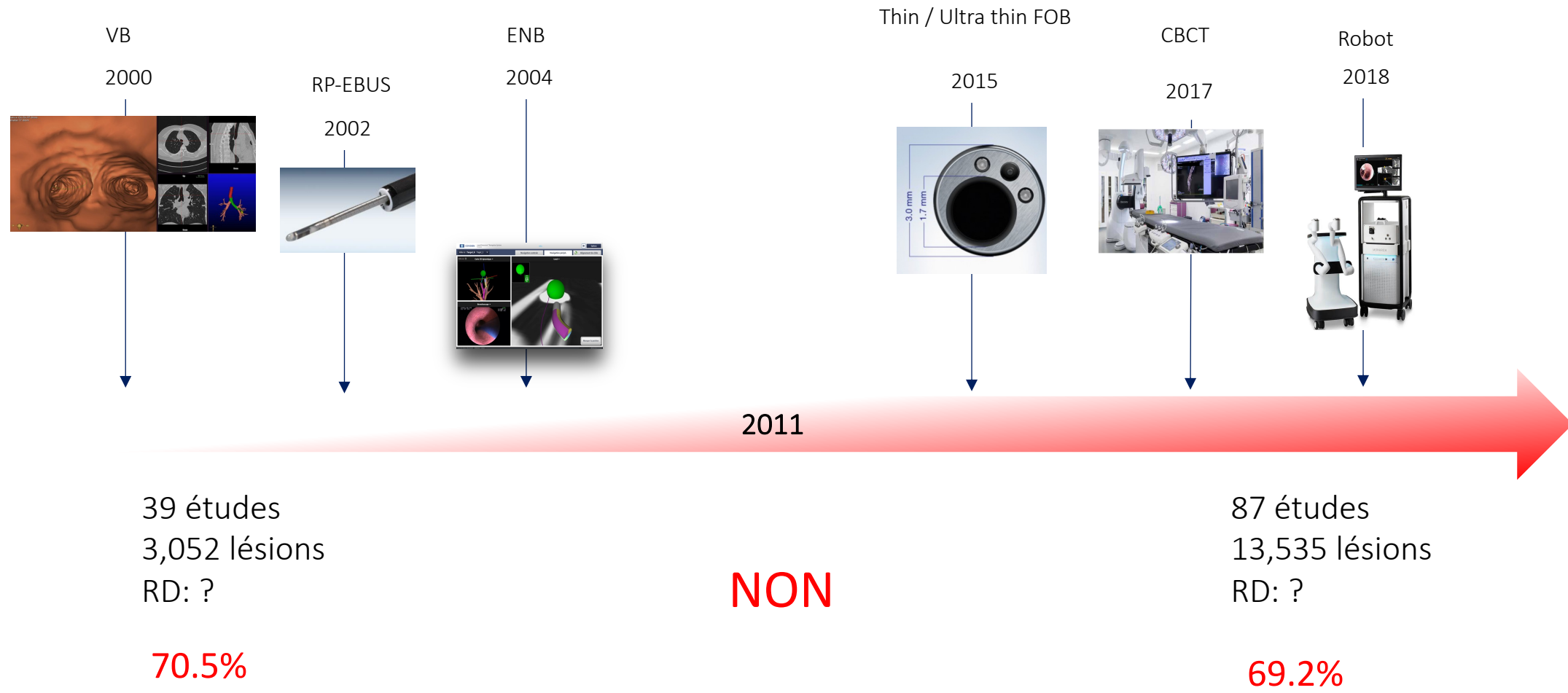
TABLE 4] Study Characteristics and Diagnostic Yield, Summarized Across Types of Technology Used

Technology Used	No. of Study Arms	Proportion of Study Arms With High Bias, %	Total No. of Nodules Included	No. of Nodules Per Study, Median (range)	Diagnostic Yield, Mean (95% CI)
R-EBUS ± GS	51	78.4	5,494	83 (11-760)	70.9% (67.9%-73.9%)
ENB	24	75.0	1,952	53.5 (13-279)	74.0% (68.6%-79.4%)
ENB + R-EBUS	15	73.3	2,913	56 (26-1,329)	66.5% (59.8%-73.3%)
VB + R-EBUS	13	76.9	1,048	55 (12-334)	76.4% (72.7%-80.1%)
Ultrathin or thin + VB	10	80.0	795	63 (25-167)	69.9% (62.4%-77.3%)
Ultrathin or thin + R-EBUS	7	42.9	1,133	101 (20-467)	62.6% (55.3%-70.0%)
Other combination	7	57.1	771	63 (31-245)	64.4% (49.0%-79.9%)
Ultrathin or thin	6	50.0	770	104 (20-340)	50.2% (37.3%-63.2%)
Ultrathin + VB + R-EBUS	6	16.7	737	152.5 (32-179)	67.3% (58.4%-76.2%)
Robotic	6	66.7	483	56.5 (15-167)	77.6% (70.4%-84.8%)
VB	4	100.0	293	60.5 (50-122)	72.4% (55.1%-89.7%)

ENB = electromagnetic navigational bronchoscopy; GS = guide sheath; R-EBUS = radial endobronchial ultrasound; VB = virtual bronchoscopy.



Est-ce qu'on a amélioré le RD?





Pourquoi ???

- Amélioration des techniques de navigation mais pas le RD
- Différence entre une navigation réussie et un diagnostic positif
- Pourquoi ?

L'anapath !!!!



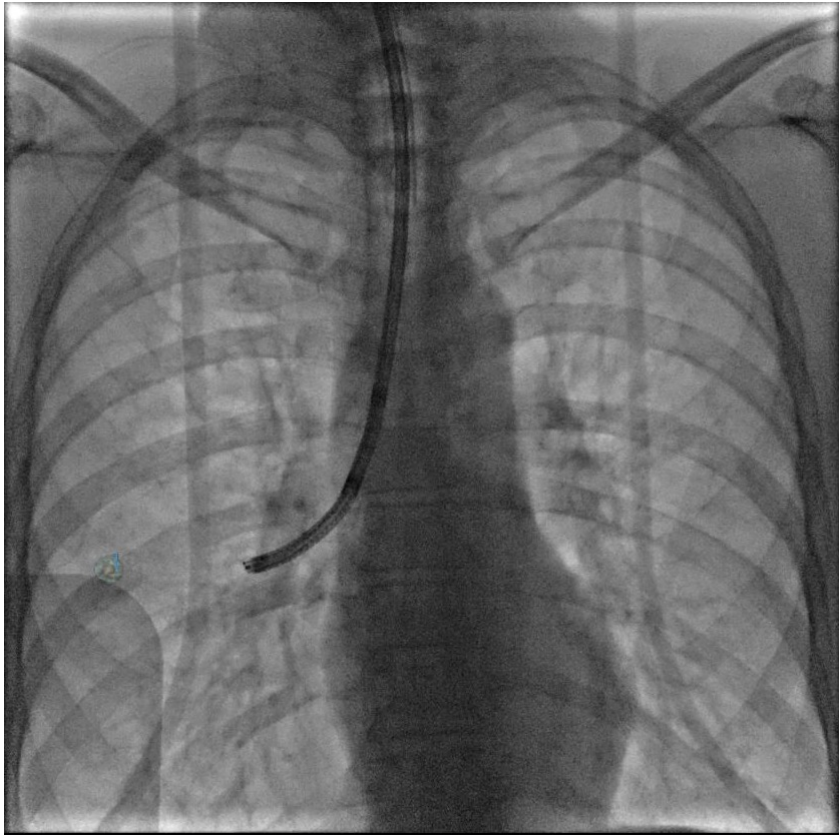
- A. Absence de vision directe
- B. Atélectasie
- C. CT to body divergence
- D. Techniques de biopsie



A. Pas de vision directe

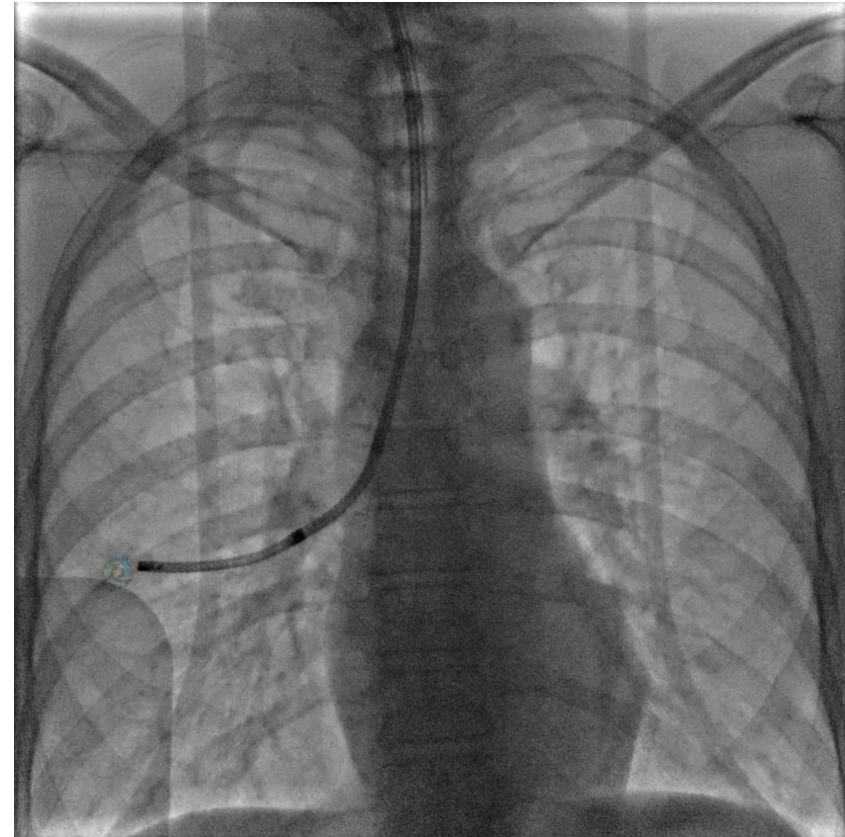
Fibroscope standard

4.9 mm



Fibroscope Ultra-fin

3 mm



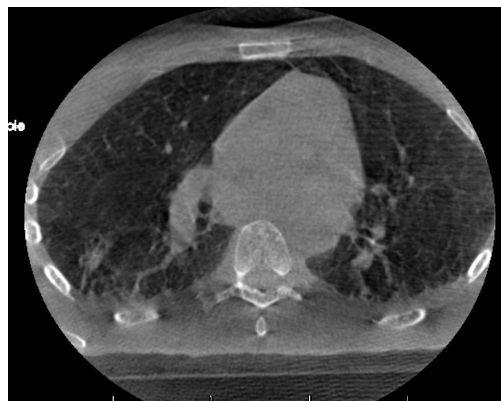


B. Atélectasie

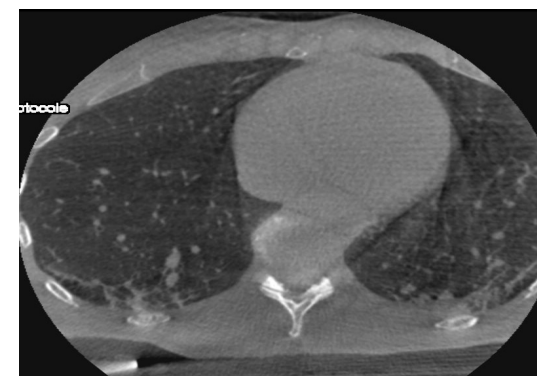
Scanner Pre-procédure



Ventilation non-optimisée



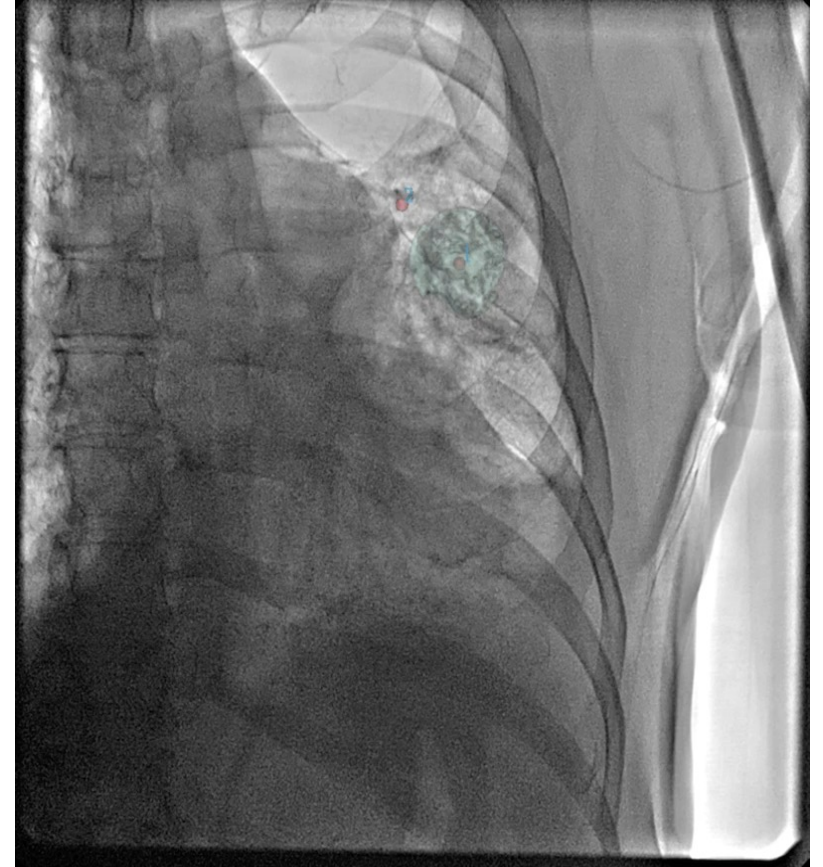
Ventilation optimisée





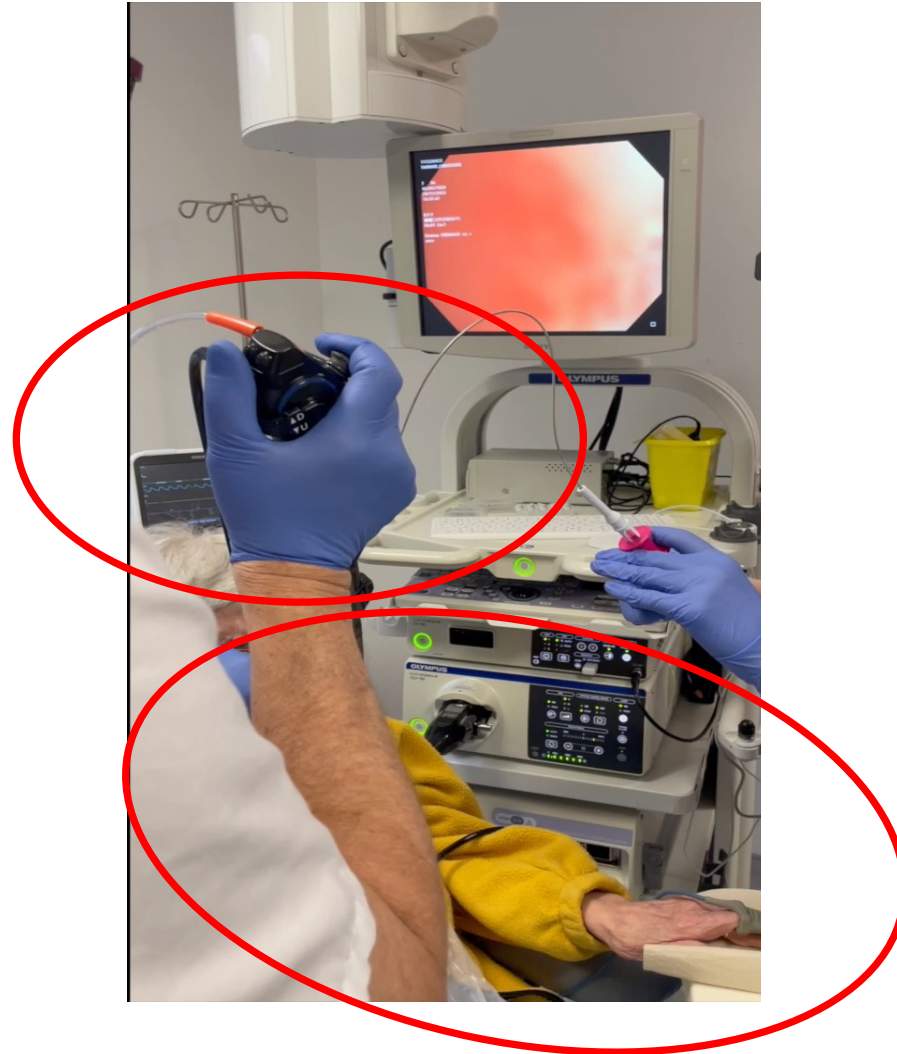
C. CT to body divergence

- Mouvements respiratoires changent
 - Le volume pulmonaire
 - L'orientation des VA et des instruments
- La superposition de l'emplacement réel de la lésion et de la cible ne se produit qu'en un seul point du cycle respiratoire (fin de l'expiration).
- Distance de mismatch : 17.6 mm et 25.3 mm





D. Techniques de prélèvement





Cryobiopsie pour NPP: ML data

Table 1. : Results of endoscopic pulmonary cryobiopsy for PPN's.

	Pulmonary lesions
	n=39
Age, mean±SD	68±10
Sex, F/M	18/21
Lesion size (mm), mean±SD	20±9
Localization	
Right Upper Lobe, n (%)	8 (21)
Middle Lobe	6 (15)
Right Inferior Lobe	5 (13)
Left Upper Lobe	13 (33)
Left Inferior Lobe	7 (18)
Bleeding, n (%)	12 (31)
Diagnose, n (%)	33 (85)

Bronchoscopie robotique



RD : 84.3%

Unpublished data

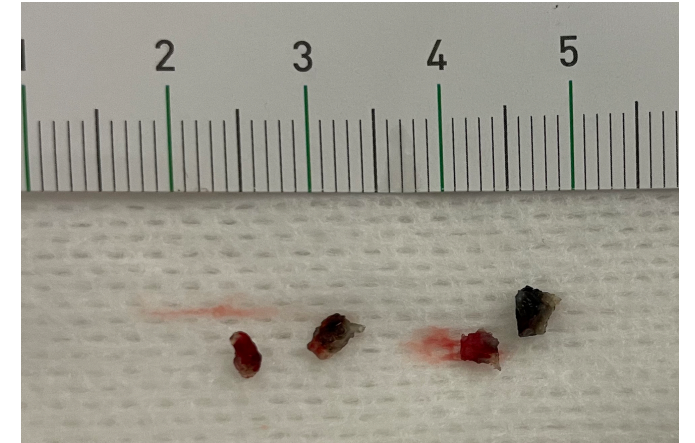
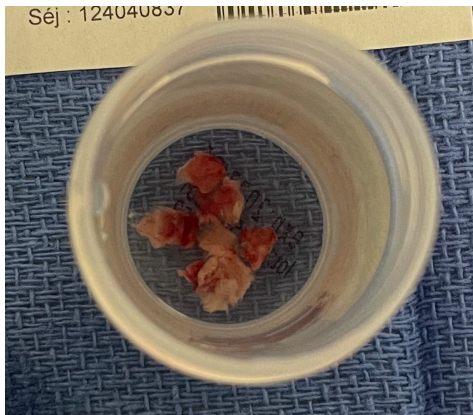
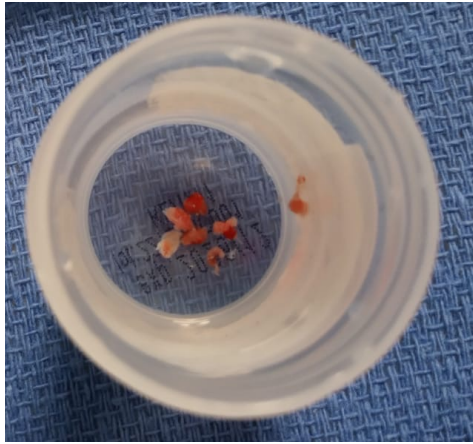


Cryobiopsie NPP



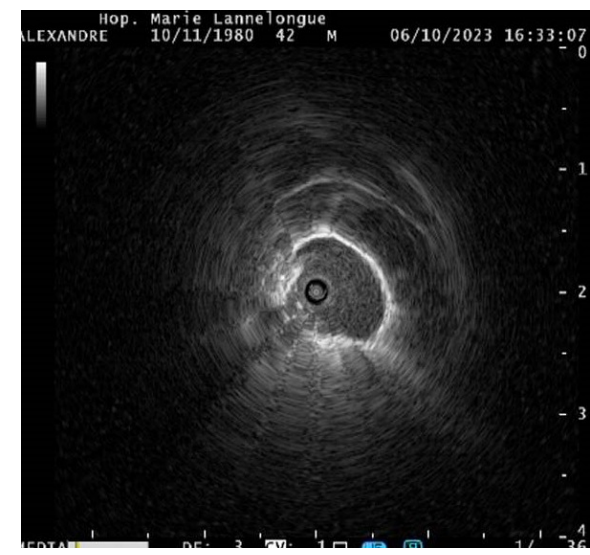
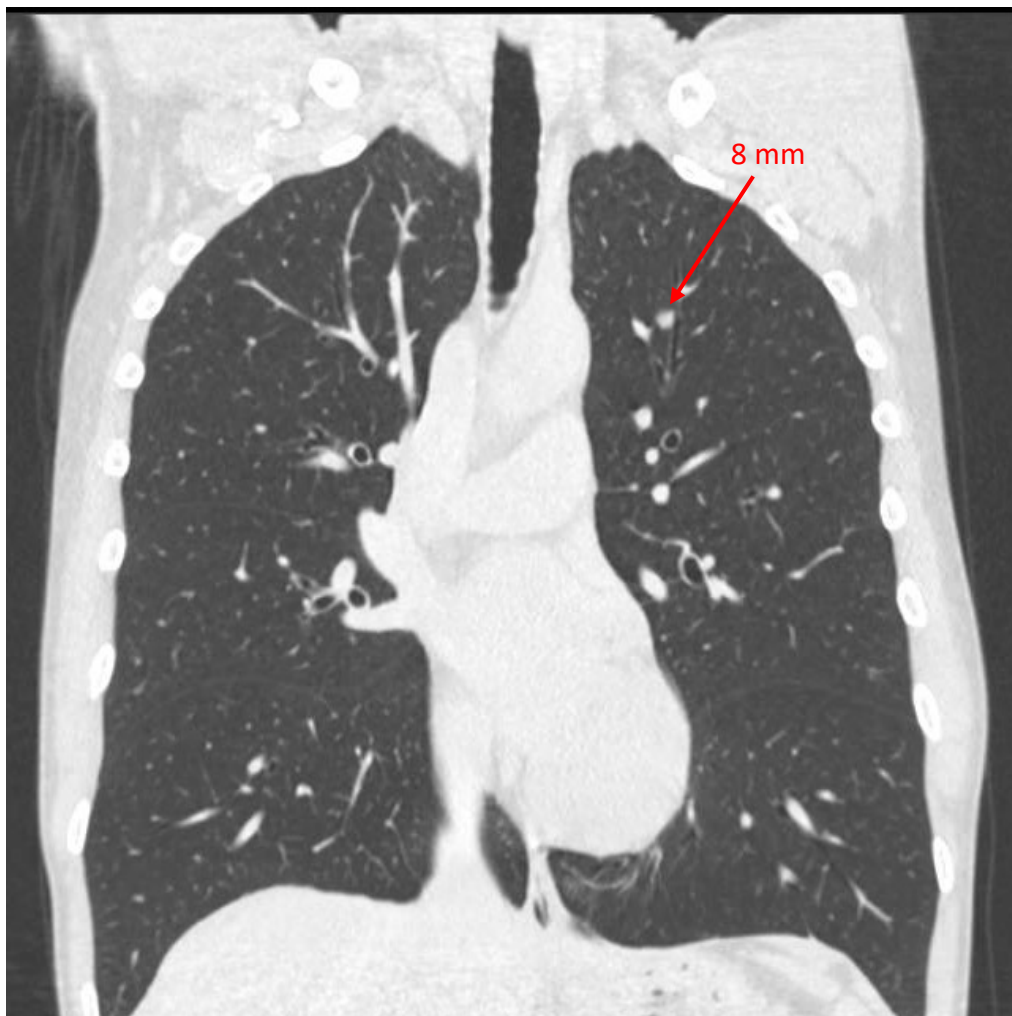


Taille de prélèvements



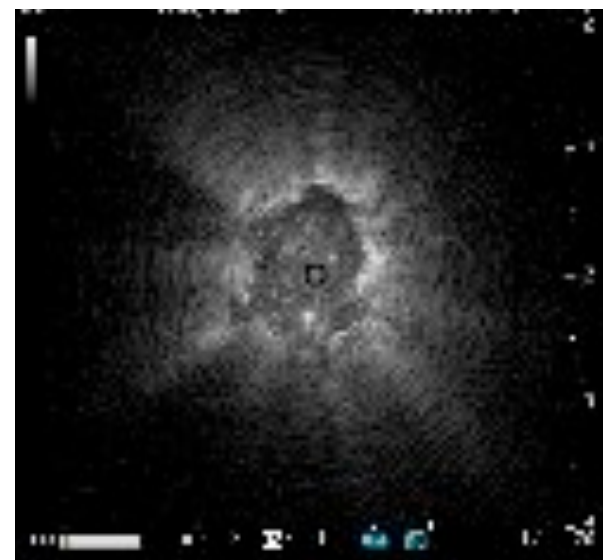
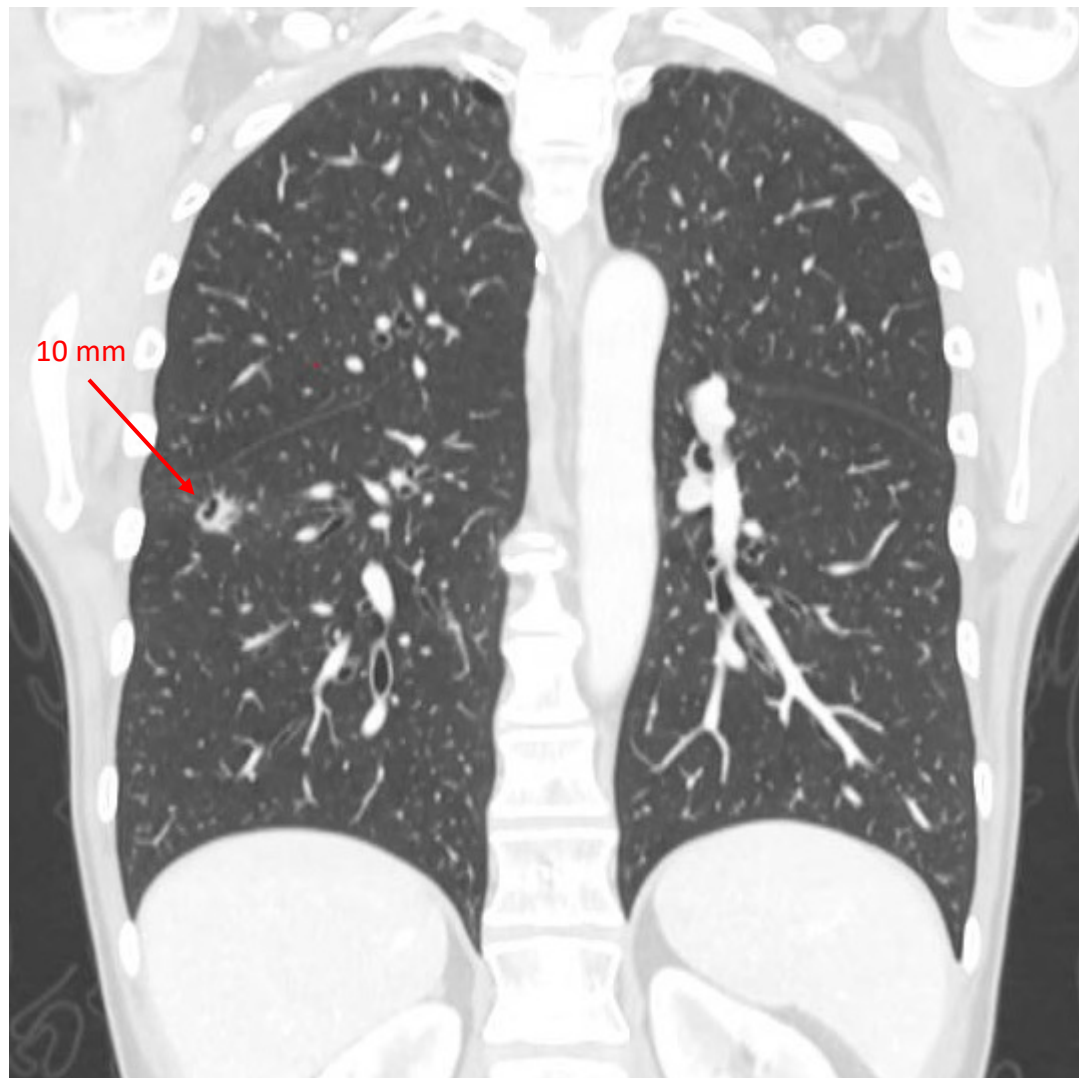


Seminome



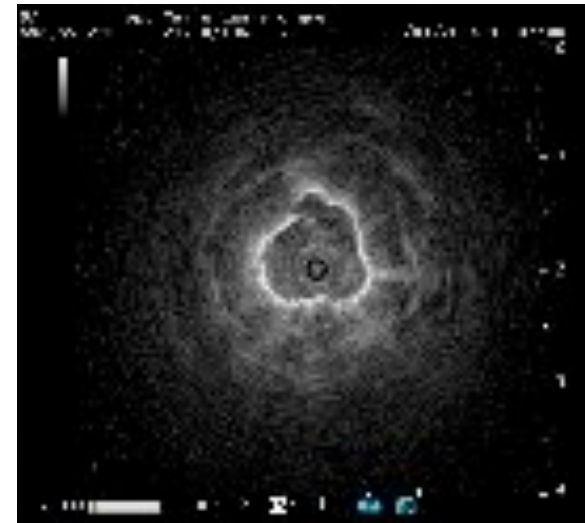
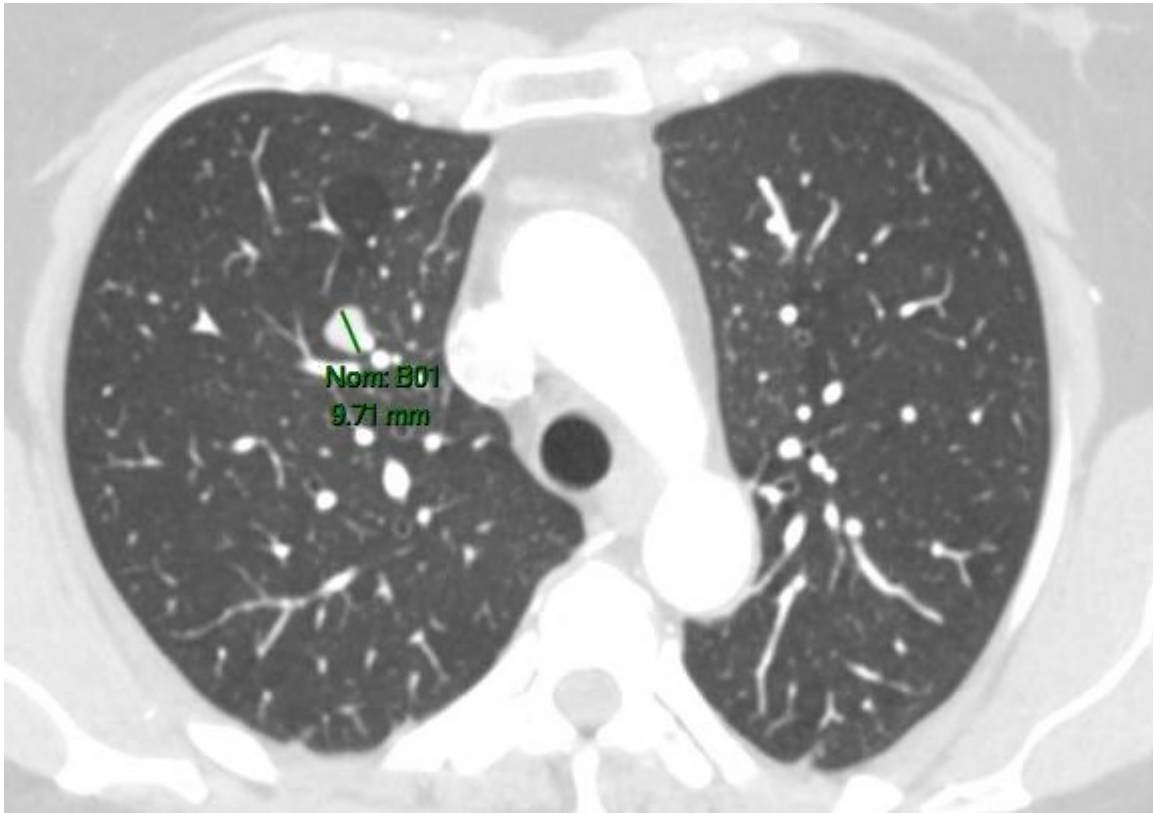


ADK





Tumeur carcinoïde







Les indications de la cryobiopsie:

1. PID
2. Nodules pulmonaires périphériques
3. Adénopathies du médiastin
4. Désobstruction endobronchique
5. Ablation des corps étrangers
6. Decaillotage



SPIF

La société de Pneumologie d'Île-de-France

université
PARIS-SACLAY

Merci
